

Плазмон-поляритонная самоиндуцированная прозрачность

A. A. Заболотский¹⁾

Институт автоматики и электрометрии Сибирского отд. РАН, 630090 Новосибирск, Россия

Поступила в редакцию 15 февраля 2010 г.

После переработки 7 апреля 2010 г.

Изучается формирование и эволюция связанного солитонного поляризованного состояния в металлическом цилиндре, окруженном слоем двухуровневых атомов с частотой, близкой плазмонному резонансу. Для описания динамики поперечных плазмонов в протяженной среде использовано гидродинамическое приближение. Показано, что эволюционные уравнения приводятся к уравнениям, аналогичным уравнениям Максвелла – Блоха, описывающим явление самоиндуцированной прозрачности в оптике. Численно исследуется влияние потерь и нелинейностей, связанных с самодействием электронного облака, на эволюцию солитоноподобных структур.

Усиление локального электромагнитного поля вблизи металлических наночастиц приводит к многим новым и интересным явлениям в оптике [1]. К ним относятся поверхностное гигантское комбинационное рассеяния [2] и усиление флуоресценции [3] вблизи наночастиц, эффективная генерация фототока [4] и пр. Многие интересные явления плазмоники связаны с изменением характеристик резонансного излучения, поглощения или дисперсии света из-за пространственной локализации резонансных плазмонов [1–3].

Физические механизмы, приводящие к изменению флуоресценция в окрестности металлических наночастиц, также, при определенных условиях, могут, как считает ряд авторов, приводить к когерентной генерации света, см. работы [5–7] и ссылки в них. Формирование солитоноподобных связанных состояний фотонов и плазменных осцилляций, локализованных на малых, в протяженных средах, включающих периодически расположенные наночастицы или тонкие слои металла, изучалось в ряде теоретических работ, см., например, [1, 8, 9].

В протяженных однородных металлических средах, таких как тонкие металлические стержни и пластинки, важны эффекты распространения сгустков плазменных осцилляций. Условие компенсации потерь в металле посредством накачки резонансного перехода диэлектрической среды, расположенной вблизи, дает возможность наблюдения когерентных эффектов, связанных с распространением нелинейных плазмон-поляритонных волновых пакетов, в том числе, с длиной волны, много меньше световой [5, 8]. Целью настоящей работы является аналитическое и численное исследование такой возможности в

длинных металлических стержнях, окруженных резонансной двухуровневой средой (ДУС).

Опишем коллективное движение электронов в рамках гидродинамической модели, см., например, [10]. В этой модели коллективное движение электронов в произвольной неоднородной системе выражается в терминах электронной плотности $n(\mathbf{r}, t)$ и гидродинамической скорости $\mathbf{v}(\mathbf{r}, t)$, которые в предложении безвихревого движения выражаются в виде градиента потенциала скорости $\psi(\mathbf{r}, t)$ так, что $\mathbf{v}(\mathbf{r}, t) = -\nabla\psi(\mathbf{r}, t)$. Основные гидродинамические уравнения (уравнение неразрывности и уравнение Бернулли) в присутствии внешней силы имеют вид

$$\frac{d}{dt}n_e(\mathbf{r}, t) = \nabla \cdot [\nabla\psi(\mathbf{r}, t) n_e(\mathbf{r}, t)], \quad (1)$$

$$\frac{d}{dt}\psi(\mathbf{r}, t) = \frac{1}{2} \nabla\psi(\mathbf{r}, t) \cdot \nabla\psi(\mathbf{r}, t) + \frac{\delta T_F(n_e)}{\delta n_e} + U(\mathbf{r}, t), \quad (2)$$

где $T_F(n_e)$ – внутренняя кинетическая энергия, которая часто аппроксимируется функционалом Томаса–Ферми

$$T_F(n_e) = \frac{3\hbar^2}{10m} (3\pi^2)^{2/3} [n_e(\mathbf{r}, t)]^{5/3}, \quad (3)$$

$$U(\mathbf{r}, t) = \frac{e}{m} [\nabla^{-1} \cdot \mathbf{E} - \phi_i(\mathbf{r}, t)], \quad (4)$$

и уравнения Пуассона

$$\Delta\phi_e(\mathbf{r}, t) = 4\pi e n_e(\mathbf{r}, t), \quad (5)$$

где \mathbf{E} – амплитуда электромагнитного поля, действующего на наноплазму, m и e – масса и заряд элек-

¹⁾ e-mail: zabolotskii@iae.nsk.su

трана, соответственно; ϕ_e – электронный потенциал. Как правило, смещением ионов можно пренебречь [10]. Считаем, что начальная плотность электронного облака $n_e(\mathbf{r}, 0)$ – константа.

Гидродинамические уравнения (1)–(5) являются нелинейными уравнениями, которые могут быть решены с использованием теории возмущений по отношению к малым возмущениям $n_1(\mathbf{r}, t)$ и $\psi_1(\mathbf{r}, t)$:

$$n_e(\mathbf{r}, t) = n_0(\mathbf{r}) + n_1(\mathbf{r}, t) + \dots, \quad (6)$$

$$\psi(\mathbf{r}, t) = 0 + \psi_1(\mathbf{r}, t) \dots, \quad (7)$$

Обозначив малый сдвиг $\zeta(\mathbf{r}, t)$ плазменного слоя вдоль оси z перпендикулярный к оси металлического цилиндра x , такой что $\chi(\mathbf{r}, t)$, $(\partial_t \zeta(\mathbf{r}, t) = \mathbf{v}(\mathbf{r}, t))$, получаем из системы (1)–(7)

$$n_1(\mathbf{r}, t) = -\nabla [n_0(\mathbf{r})\zeta(\mathbf{r}, t)], \quad (8)$$

$$\begin{aligned} \frac{d^2}{dt^2}\zeta(\mathbf{r}, t) &= \frac{\beta_0^2(\mathbf{r}, t)}{n_0(\mathbf{r})}\Delta[n_0(\mathbf{r})\zeta(\mathbf{r}, t)] + \mathbf{F}(\mathbf{r}, t) + \\ &+ \frac{\nabla^{-1}}{n_0}\widehat{W}_1(\mathbf{r})[n_0(\mathbf{r})\zeta(\mathbf{r}, t)], \end{aligned} \quad (9)$$

где $\mathbf{F} = -e\mathbf{E}_p/m$ и

$$\beta_0^2(\mathbf{r}) = \frac{\hbar^2}{2m}(3\pi^2)^{2/3}n_0(\mathbf{r})^{5/3}, \quad (10)$$

$$\begin{aligned} \widehat{W}_1(\mathbf{r}) &= \frac{\beta_0^2}{n_0}\nabla n_0 \cdot \nabla + \\ &+ [\nabla n_0(\mathbf{r}) \cdot \nabla + n_0(\mathbf{r})\Delta]\left[\frac{\beta_0^2(\mathbf{r})}{n_0(\mathbf{r})}\right] + 2\nabla\left[\frac{\beta_0^2(\mathbf{r})}{n_0(\mathbf{r})}\right] \cdot \nabla. \end{aligned} \quad (11)$$

Для почти однородной плотности $n_0(\mathbf{r})$ вкладом оператора \widehat{W}_1 пренебрегаем.

Динамика электронов в среде определяется начальной внешней силой и электрическими полями, генерируемыми плазмон-поляритонными импульсами, эволюционирующими на фоне основного состояния $n_1 = 0$.

Для усиливающей среды, заполняющей концентрическую оболочку стержня, применяем приближение ДУС, которая описывается матрицей плотности \hat{r} . Матричный элемент r_{12} описывает переход между основным $|2\rangle$ и возбужденным $|1\rangle$ состояниями, r_{22} и r_{11} – заселенности этих уровней и $\rho_0 = r_{11} - r_{22}$. Считаем, что плотность молекул $n_d = \text{const}$, и поляризация каждой молекулы

$$\langle 1 | \mathbf{p} | 2 \rangle = -[\mathbf{d}_{21}\rho_{12}(x, t) + \mathbf{d}_{21}^*\rho_{12}^*(x, t)], \quad (12)$$

где вектор дипольного момента $\mathbf{d}_{21} = e\langle 2 | \mathbf{z} | 1 \rangle = (0, 0, d_{12})$.

Применяя приближения врачающейся волны и одномерной среды, представим функции в виде

$$r_{21}(\mathbf{r}, t) = \rho_{21}(x, t)\exp(i\omega t - ikx) + \text{c.c.}, \quad (13)$$

$$\zeta(\mathbf{r}, t) = \left[0, 0, \frac{\beta_0 Z(x, t)}{\omega}\exp(i\omega t - ikx)\right] + \text{c.c.}, \quad (14)$$

$$\mathbf{F}(\mathbf{r}, t) = [0, 0, \beta_0\omega f(x, t)\exp(i\omega t - ikx)] + \text{c.c.} \quad (15)$$

Здесь ω и k – несущие частота и волновой вектор, соответственно, $\rho_{21}(x, t)$, $Z(x, t)$ и $f(x, t)$ – медленные огибающие. Считаем, что характерный размер пакета сгустка плазменных осцилляций l_p больше $\beta_0/\omega \sim 10^{-8} - 10^{-7}$ м и много меньше длины среды L_m , которая может быть ~ 1 мкм. Пренебрегаем релаксационными эффектами в ДУС. Для групповой скорости пакета $\sim \beta_0$ время пробега стержня ~ 1 пс.

Вводим безразмерные переменные $\tau = \omega(t - x/\beta_0)$, $\chi = x\omega\beta_0^{-1}$. Сила, действующая на плазму, $f(\chi, \tau) = -eE_p(\chi, \tau)(t\omega\beta_0)^{-1}$ определяется суммой z -компонент поля индуцированных диполей молекул ДУС $E_{d \rightarrow p}$ и $E_{p \rightarrow p}$, $NE_{p \rightarrow p}$ – соответственно линейной и нелинейной (по Z) частей электрического поля, являющихся следствием самодействия облака электронов, вызванного смещением по отношению к ионному остову.

Стандартные вычисления дают

$$E_{p \rightarrow p} = \frac{m\omega_p^2}{e\omega^2}Z(\chi, \tau), \quad (16)$$

где $\omega_p^2 = 4\pi e^2 n_0/m$ – плазменная частота.

Для оценки поля $E_{d \rightarrow p}$ считаем, что диполи резонансных переходов ДУС коллинеарны, направлены по нормали к оси. Пренебрегаем неоднородным уширением и считаем, что атомы красителя однородно распределены в полом бесконечно длинном цилиндре с радиусом $L + r$, толщиной стенки L , окружающим металлический цилиндр с радиусом r . В общем случае взаимодействие нелокально. Однако, для простоты полагаем, что масштаб изменения $\langle 1 | \mathbf{p}(\chi, \tau) | 2 \rangle$, то есть характерный размер поляритон-плазмонных импульсов, много больше L и r . Интегрирование (для бесконечно длинного цилиндра) дает следующее выражение для поля диполей ДУС на оси цилиндра:

$$E_{d \rightarrow p}(x, t) \approx f_d 4\pi n_d d_{21} \rho_{12}(\chi, \tau), \quad (17)$$

где константа $f_d = L/(r + L) + \ln(1 + r/L)$. Для $L \sim r$, феноменологически учитывая неоднородное уширение, температурные эффекты, полагаем $f_d \sim 1 - 10^{-1}$.

Разложение по \mathcal{Z} дает следующее значение для квадратичной нелинейности:

$$NE_{p \rightarrow p} = -f_2 \frac{m\omega_p^2 \beta_0}{e\omega^3 r} |\mathcal{Z}(\chi, \tau)| \mathcal{Z}(\chi, \tau), \quad (18)$$

где константа $f_2 \sim 0.1$ (см. детали в [11]). Нелинейности, отвечающие более высоким степеням \mathcal{Z} , здесь не учитываем.

Электрическое поле, действующее на плазму, суть сумма полей (16), (17) и (18). Аналогичным образом находим медленную огибающую z компоненты электрического поля, действующую на ДУС:

$$E_d(\chi, \tau) = \frac{\omega_p^2 m}{e} \left[\frac{f_p \beta_0 \mathcal{Z}(\chi, \tau)}{\omega} + \frac{n_d}{n_0} \langle 2| \mathbf{z} | 1 \rangle \rho_{12} \right], \quad (19)$$

где положительная константа $f_p \sim 1 - 10^{-1}$. Вкладом нелинейного самодействия плазмы в это поле можно пренебречь. Как правило, $n_d \ll n_0$, поэтому вторым членом в правой части (19) пренебрегаем.

Рассматриваем временной интервал, на котором релаксацией ДУС можно пренебречь. Подставив эти выражения для полей в уравнение (9) и в уравнения Блоха для ДУС [12], в рамках приближения медленных огибающих получаем систему уравнений

$$\frac{\partial}{\partial \tau} \rho_{21} = i\mu \rho_{21} - iZ \rho_0, \quad (20)$$

$$\frac{\partial}{\partial \tau} \rho_0 = i(Z \rho_{21}^* - Z^* \rho_{21}), \quad (21)$$

$$\begin{aligned} \frac{d}{d\chi} Z(\chi, \tau) + i \left(\frac{k}{q} - 1 + \nu \right) Z(\chi, \tau) = \\ = -i\alpha_1 \alpha_2 \rho_{21}(\chi, \tau) - \Gamma Z(\chi, \tau) + i\alpha_3 \alpha_1^{-1} |Z| Z, \end{aligned} \quad (22)$$

где $Z = \alpha_1 \mathcal{Z}$, ω_d – частота перехода, коэффициент Γ феноменологически учитывает линейные по Z потери и

$$\begin{aligned} \alpha_1 &= f_p \nu \frac{m \beta_0 \langle 2| \mathbf{z} | 1 \rangle}{2\hbar}, & \alpha_2 &= f_d \nu \frac{\xi \omega \langle 2| \mathbf{z} | 1 \rangle}{\sqrt{1-\nu} \beta_0}, \\ \alpha_3 &= f_2 \frac{m \nu \beta_0}{e \omega r}, & \nu &= \frac{\omega_p^2}{\omega^2}, & \mu &= \frac{\omega_d}{\omega} - 1. \end{aligned} \quad (23)$$

Здесь $\xi = n_d/n_0$ и учтено, что модуль волнового вектора k определяется (без учета потерь) дисперсионным соотношением $|k| = \omega \sqrt{1-\nu} \beta_0^{-1}$.

Полученная в итоге система уравнений (20)–(22) без учета потерь и нелинейного самодействия плазмы эквивалентна уравнениям Максвелла – Блоха, описывающим явление самоиндуцированной прозрачности света в ДУС. Солитонные решения этой системы описывают связанное состояние электромагнитного поля

и среды, распространяющееся в виде локализованного волнового пакета, устойчивого к малым возмущениям [12]. Для солитонов характерно большее время жизни в поглощающей среде, чем для плоской волны. Возможно, этим объясняется удлинение длины пробега плазмона в присутствии поглощающей ДУС, обнаруженное экспериментально в [7].

Для $\Gamma = \alpha_3 = 0$ простейшее солитонное решение имеет вид [12]

$$|Z(\chi, \tau)| = \frac{2\eta_1}{\cosh[\eta_1(\tau - \chi v^{-1})]}, \quad (24)$$

где η_1 – действительное число и $v = (\eta_1^2 + \mu^2)^{-1}$ – групповая скорость солитона. Характерный масштаб, на котором проявляются нелинейные эффекты, определяется коэффициентом $\alpha_0(\nu) = \sqrt{\alpha_1(\nu)\alpha_2(\nu)}$. Для $\omega_p = 10^{15} \text{ с}^{-1}$, $|\langle 2| \mathbf{z} | 1 \rangle| \sim 10^{-10} \text{ м}$ оценка дает временной масштаб перехода от линейного режима к нелинейному $t_n = (\omega \alpha_0)^{-1} \sim (1-\nu)^{1/4}/(10^2 \omega \sqrt{\xi} \nu^{-1})$. При $\nu \rightarrow 1$ t_n уменьшается, то есть в этой области солитоны формируются быстрее.

Из оценки групповой скорости солитона v_g с длительностью $\eta_1^{-1} = t_s \omega$,

$$\frac{\beta_0}{v_g} \approx 1 + \frac{10^4 \nu^2 \xi t_s^2 \omega^2}{\sqrt{1-\nu}(1+\mu^2 t_s^2 \omega^2)}, \quad (25)$$

следует, в частности, что при $\nu \rightarrow 1$ скорость солитона уменьшается.

Возбуждение солитоноподобных пакетов вблизи концов стержня может быть выполнено с помощью ближнепольного микроскопа. Экспериментально нелинейные эффекты в такой усиливающей среде могут наблюдаться и при возбуждении плазмонных осцилляций вдоль всего стержня внешним слабым электрическим полем. Для $\Gamma > 0$ в поглощающей среде, то есть в отсутствие начальной заселенности верхнего уровня, солитон (26) диссирирует. Численный анализ системы (20)–(22) показал, что учет квадратичного самодействия плазмы приводит к существенному давлению затухания и увеличению времени жизни солитона, см. рис.1, на котором показана форма солитона с учетом квадратичного самодействия и без него.

В усиливающей среде возможно развитие модуляционной неустойчивости, которая приводит к образованию квазистационарной периодической решетки плазмон-поляритонных импульсов. Известно, что эта неустойчивость приводит к удвоению периода. Поэтому следует ожидать возникновения периодических решеток в распределении плазмонов при их возбуждении вдоль всего стержня внешним затравочным слабым полем. Этот процесс на начальной ста-

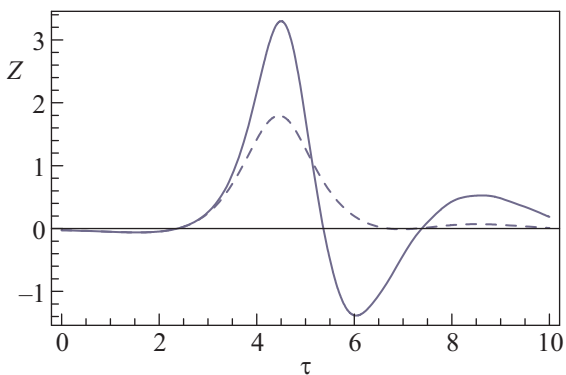


Рис.1. Зависимость $Z(\chi_0, \tau + \chi_0)$ от τ для $\Gamma = 0.5\alpha_0^2$, $\chi_0 = 5\alpha_0$. График для $\alpha_3 = 0.1\alpha_1\alpha_0^2$ показан сплошной линией и для $\alpha_3 = 0$ – пунктирной, τ дано в единицах α_0 , $\mu = 0$

дии и для слабых возмущений может быть смоделирован периодическим однофазным решением со слабо изменяющимися параметрами [13], которое описывает периодическое пространственно модулированное смещение электронного облака – деформирующуюся с временем стоячую волну. Численное решение системы (20)–(22) показало, что при слабомодулированном начальном смещении электронов по оси z развивается модуляционная неустойчивость, приводящая к формированию периодической цепочки импульсов с конечной амплитудой, см. рис.2.

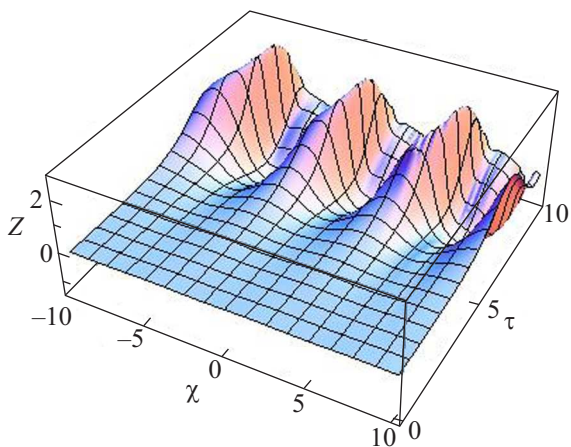


Рис.2. Образование периодической структуры сдвига электронного облака $Z(\chi, \chi + \tau)$ вследствие развития модуляционной неустойчивости. Численное решение системы (20)–(22) для $\Gamma = \alpha_0^2$, $\alpha_3 = 0.1\alpha_1\alpha_0^2$ и $Z(\tau = 0) = 0.01 \sin(\chi)$; τ и χ даны в единицах α_0 , $\mu = 0$

Локализованные плазмоны образуют одномерную решетку и генерируют когерентное излучение как пакеты осциллирующих диполей. Поэтому существование плазмонных решеток можно экспериментально

подтвердить селективной угловой направленностью излучения плазмонов. Начальное положение максимумов $\zeta(x, 0)$ может быть задано положением максимумов амплитуды затравочного слабого электромагнитного поля, падающего под углом к оси x . Пусть на длине L_m стержня возникло N_p периодически расположенных максимумов. Условие когерентности определяет угол между направлением с максимальной интенсивностью излучения диполей и осью стержня:

$$\theta = \arccos \frac{\pi N_p}{L_m k_p}, \quad (26)$$

где k_p – длина волнового вектора излучаемой диполями волны света. Для длины стержня, меньшей π/k_p , излучение плазмонных диполей будет практически однородно по углу θ . Экспериментально существование плазмонных решеток в наностержнях обнаружено в работе [14].

Результаты данной работы могут применяться для анализа условий когерентного переноса возбуждения в молекулярной среде с наностержнями. Плазмон-поляритонные импульсы могут возникать при распаде начального возмущения электронного облака, вызванного кратковременным действием постоянного электрического поля. При этом распространение плазмонных импульсов и их аннигиляция (в присутствии релаксации) должны сопровождаться излучением электромагнитной волны. Такая среда может быть перспективной для создания “спазера” [5], генерирующего когерентное излучение.

Работа выполнена по междисциплинарному интеграционному проекту СО РАН N17 и при поддержке Программы фундаментальных исследований N8 Отделения физических наук РАН.

1. F. Calvayrac, P.-G. Reinhard, E. Suraud, and C. A. Ullrich, Phys. Rep. **337**, 493 (2000).
2. N. Félidj, J. Aubard, G. Lévi et al., Phys. Rev. B **65**, 075419 (2002).
3. O. G. Tovmachenko, C. Graf, D. J. van den Heuvel et al., Adv. Mater. (Weinheim, Ger.) **18**, 91 (2006).
4. B. P. Rand, P. Peumans, and S. R. Forrest, J. Appl. Phys. **96**, 7519 (2004).
5. D. J. Bergman and M. I. Stockman, Phys. Rev. Lett. **90**, 027402 (2003).
6. M. A. Noginov, G. Zhu, M. Mayy et al., Phys. Rev. Lett. **101**, 226806 (2008).
7. G. Zhu, M. Mayy, M. Bahoura et al., Optics Express **16**, 15576 (2008).

8. Y. Liu, G. Bartal, D. A. Genov, and X. Zhang, Phys. Rev. Lett. **99**, 153901 (2007).
9. E. V. Kazantseva and A. I. Maimistov, Phys. Rev. A **79**, 033812 (2009).
10. S. Lundqvist, *Theory of the inhomogeneous electron gas*, Eds. S. Lundqvist and N. H. March, Plenum, New York, 1983, p. 149.
11. P. B. Parks, T. E. Cowan, R. B. Stephens, and E. M. Campbell, Phys. Rev. A **63**, 063203 (2001).
12. Дж. Л. Лэм, *Введение в теорию солитонов*, М. Мир, 1990.
13. A. A. Zabolotskii, Phys. Rev. E **56** 4813 (1997).
14. Z. Li, F. Hao, Y. Huang et al., Nano Lett. **9**, 4383 (2009).